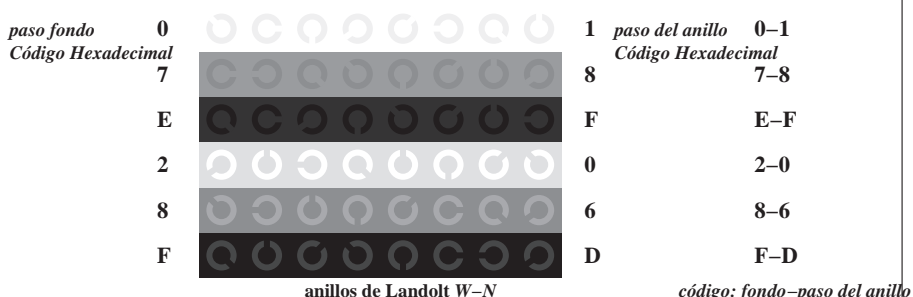


L^*/Y_{entrada} (absoluta)	18.0/2.5	37.3/9.7	56.7/24.6	76.1/49.9	95.4/88.6	N_0 (min.)	W_I (max.)
$w^*-l^*_{\text{CIELAB}, r}$ (relativa)							
w^* entrada	0,000	0,250	0,500	0,750	1,000	N_0 (min.)	W_I (max.)

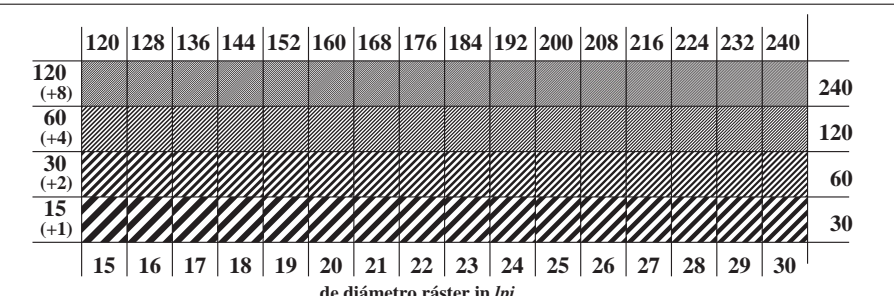
TS790-3, Fig. C1Wd: Elemento A: rejillas radial N-W, W-N, N-Z y W-Z; PS operator: $rgb/cm\gamma 0$

L^*/Y_{entrada} (absoluta)	18.0/2.5	23.2/3.8	28.3/5.6	33.5/7.8	38.6/10.5	43.8/13.7	49.0/17.6	54.1/22.1	59.3/27.3	64.4/33.3	69.6/40.2	74.8/47.9	79.9/56.5	85.1/66.2	90.2/76.8	95.4/88.6
NO y código Hex	00;F	01;E	02;D	03;C	04;B	05;A	06;9	07;8	08;7	09;6	10;5	11;4	12;3	13;2	14;1	15;0
$w^*-l^*_{\text{CIELAB}, r}$ (relativa)																
w^* entrada	0,000	0,067	0,133	0,200	0,267	0,333	0,400	0,467	0,533	0,600	0,667	0,733	0,800	0,867	0,933	1,000

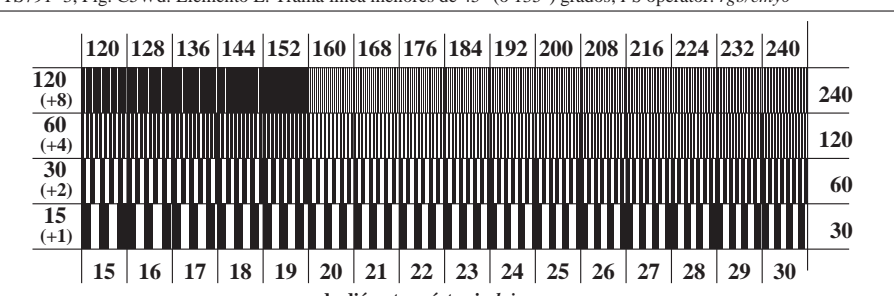
TS790-7, Fig. C3Wd: Elemento C: 16 equidistantes L^* pasos de gris; PS operator: $rgb/cm\gamma 0$



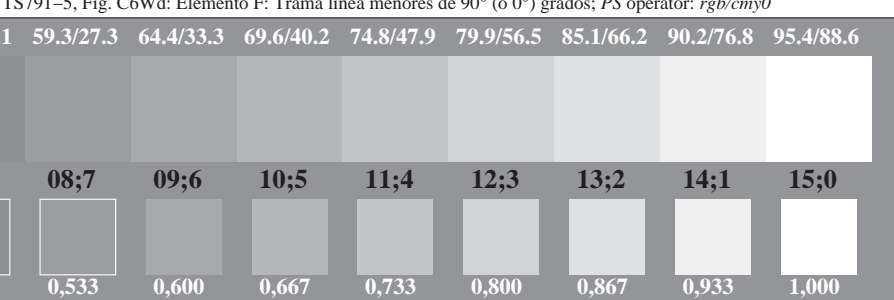
TS791-1, Fig. C4Wd: Elemento D: anillos de Landolt W-N; PS operator: $rgb/cm\gamma 0$



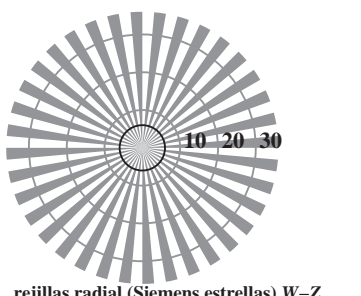
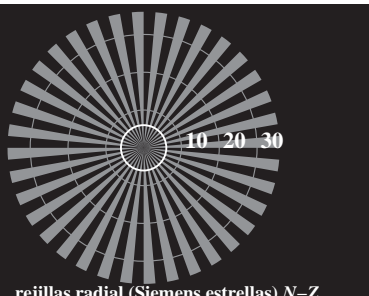
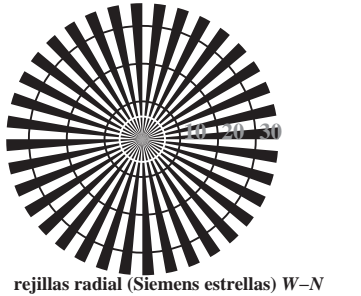
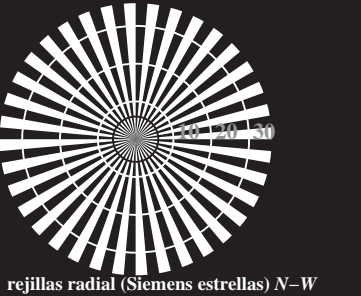
TS791-3, Fig. C5Wd: Elemento E: Trama línea menores de 45° (o 135°) grados; PS operator: $rgb/cm\gamma 0$



TS791-5, Fig. C6Wd: Elemento F: Trama línea menores de 90° (o 0°) grados; PS operator: $rgb/cm\gamma 0$



TS791-7, Fig. C7Wd: Elemento G: 16 equidistantes L^* pasos de gris; PS operator: $rgb/cm\gamma 0$



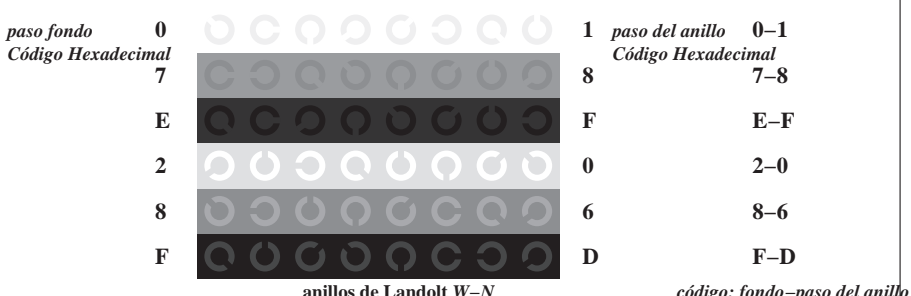
TS790-3, Fig. C1We: Elemento A: rejillas radial N-W, W-N, N-Z y W-Z; PS operator: *rgb/cmy0*

L^*/Y_{entrada} (absoluta)	18.0/2.5	37.3/9.7	56.7/24.6	76.1/49.9	95.4/88.6	N_0 (min.)	W_I (max.)
$w^*-l^*_{\text{CIELAB}, r}$ (relativa)							
w^* entrada	0,000	0,250	0,500	0,750	1,000	N_0 (min.)	W_I (max.)

TS790-5, Fig. C2We: Elemento B: 5 equidistantes L^* pasos de gris + N_0 + W_I ; PS operator: *rgb/cmy0*

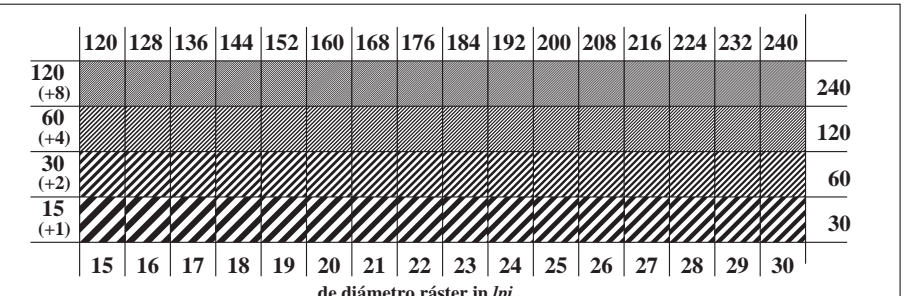
L^*/Y_{entrada} (absoluta)	18.0/2.5	23.2/3.8	28.3/5.6	33.5/7.8	38.6/10.5	43.8/13.7	49.0/17.6	54.1/22.1	59.3/27.3	64.4/33.3	69.6/40.2	74.8/47.9	79.9/56.5	85.1/66.2	90.2/76.8	95.4/88.6
N_0 y código Hex	00;F	01;E	02;D	03;C	04;B	05;A	06;9	07;8	08;7	09;6	10;5	11;4	12;3	13;2	14;1	15;0
$w^*-l^*_{\text{CIELAB}, r}$ (relativa)																
w^* entrada	0,000	0,067	0,133	0,200	0,267	0,333	0,400	0,467	0,533	0,600	0,667	0,733	0,800	0,867	0,933	1,000

TS790-7, Fig. C3We: Elemento C: 16 equidistantes L^* pasos de gris; PS operator: *rgb/cmy0*

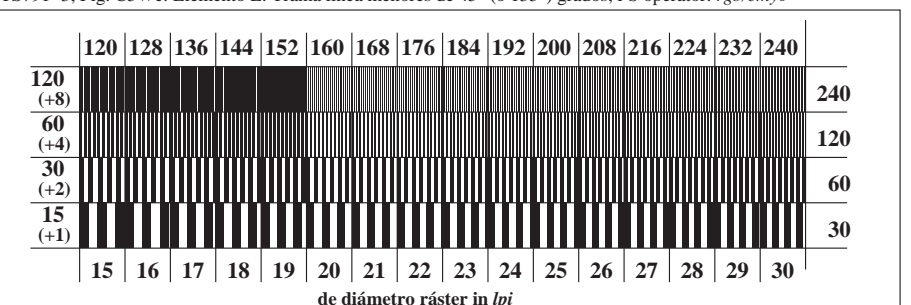


código: fondo-paso del anillo

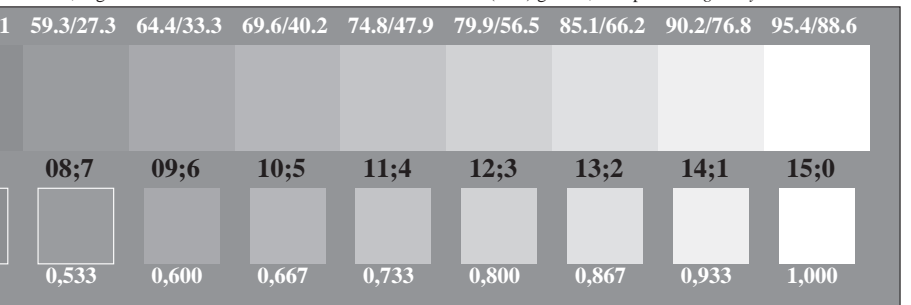
TS791-1, Fig. C4We: Elemento D: anillos de Landolt W-N; PS operator: *rgb/cmy0*

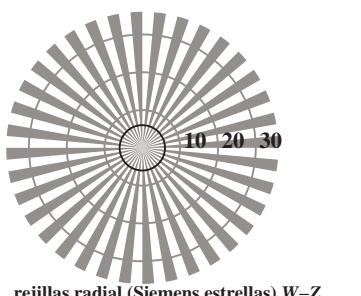
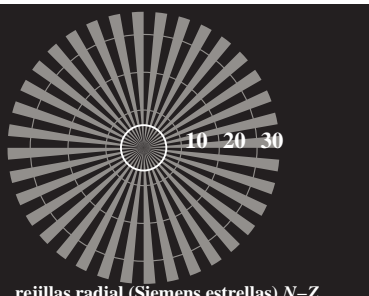
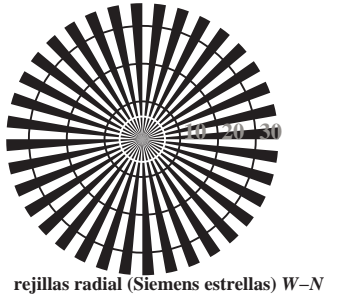
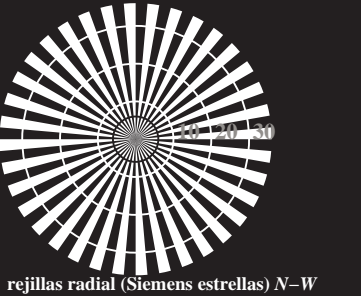


TS791-3, Fig. C5We: Elemento E: Trama línea menores de 45° (o 135°) grados; PS operator: *rgb/cmy0*



TS791-5, Fig. C6We: Elemento F: Trama línea menores de 90° (o 0°) grados; PS operator: *rgb/cmy0*





TS790-3, Fig. C1Wdd: Elemento A: rejillas radial N-W, W-N, N-Z y W-Z; PS operator: *rgb/cmy0*

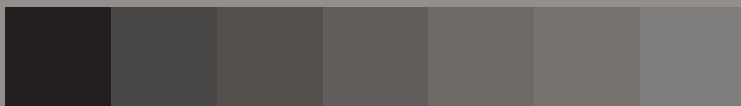
$L^*/Y_{\text{pretenden}}$ 18.0/18.0 37.3/37.3 56.7/56.7 76.1/76.0 95.4/95.4 N_0 (min.) W_1 (max.)
(absoluta)



$w^*-l^*_{\text{CIELAB}, r}$ (relativa)
 w^*_entrada 0,000 0,250 0,500 0,750 1,000 N_0 (min.) W_1 (max.)
 w^*_salida

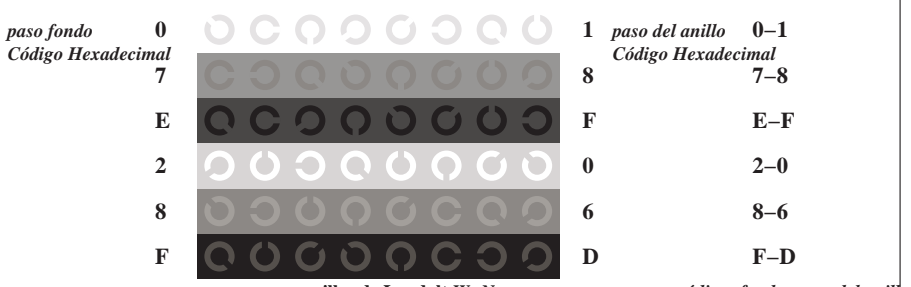
TS790-5, Fig. C2Wdd: Elemento B: 5 equidistante L^* pasos de gris + N_0 + W_1 ; PS operator: *rgb/cmy0*

$L^*/Y_{\text{pretenden}}$ 18.0/18.0 23.2/23.2 28.3/28.3 33.5/33.5 38.6/38.6 43.8/43.8 49.0/49.0
(absoluta)

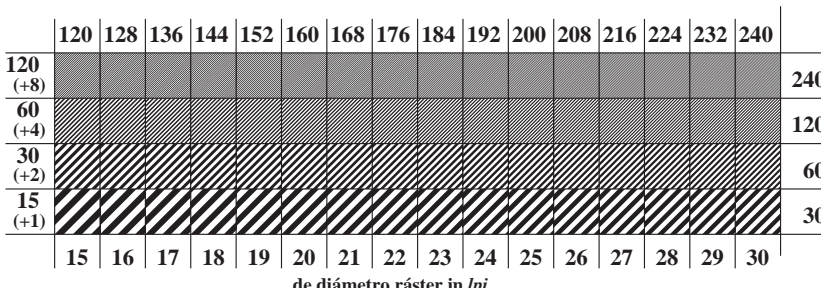


N_0 y código Hex 00;F 01;E 02;D 03;C 04;B 05;A 06;9 07;8 08;7 09;6 10;5 11;4 12;3 13;2 14;1 15;0
 $w^*-l^*_{\text{CIELAB}, r}$ (relativa)
 w^*_entrada 0,000 0,067 0,133 0,200 0,267 0,333 0,400 0,467 0,533 0,600 0,667 0,733 0,800 0,867 0,933 1,000
 w^*_salida

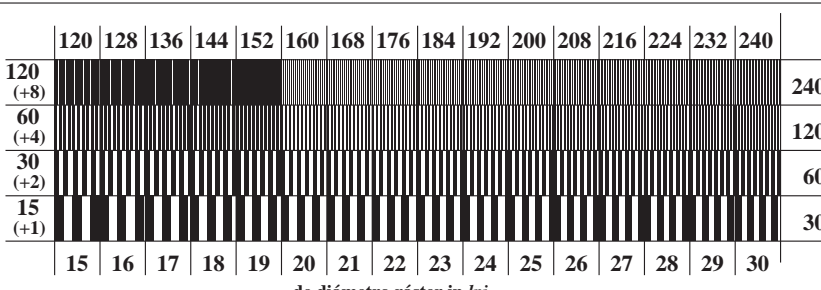
TS790-7, Fig. C3Wdd: Elemento C: 16 equidistante L^* pasos de gris; PS operator: *rgb/cmy0*



TS791-1, Fig. C4Wdd: Elemento D: anillos de Landolt W-N; PS operator: *rgb/cmy0*

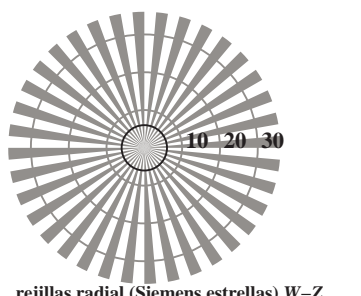
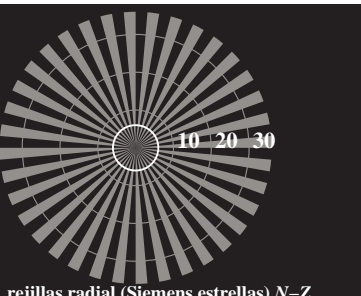
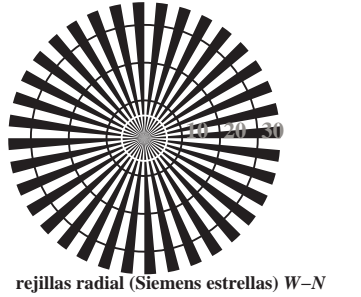
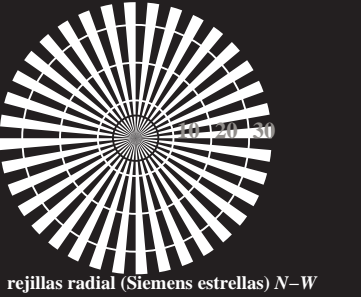


TS791-3, Fig. C5Wdd: Elemento E: Trama linea menores de 45° (o 135°) grados; PS operator: *rgb/cmy0*



TS791-5, Fig. C6Wdd: Elemento F: Trama linea menores de 90° (o 0°) grados; PS operator: *rgb/cmy0*





TS790-3, Fig. C1Wde: Elemento A: rejillas radial N-W, W-N, N-Z y W-Z; PS operator: *rgb/cmy0*

$L^*/Y_{\text{pretenden}}$ 18.0/18.0 37.3/37.3 56.7/56.7 76.1/76.0 95.4/95.4 N_0 (min.) W_1 (max.)
(absoluta)



$w^*-l^*_\text{CIELAB, r}$ (relativa)
 w^*_entrada 0,000 0,250 0,500 0,750 1,000 N_0 (min.) W_1 (max.)
 w^*_salida

TS790-5, Fig. C2Wde: Elemento B: 5 equidistante L^* pasos de gris + N_0 + W_1 ; PS operator: *rgb/cmy0*

$L^*/Y_{\text{pretenden}}$ 18.0/18.0 23.2/23.2 28.3/28.3 33.5/33.5 38.6/38.6 43.8/43.8 49.0/49.0
(absoluta)

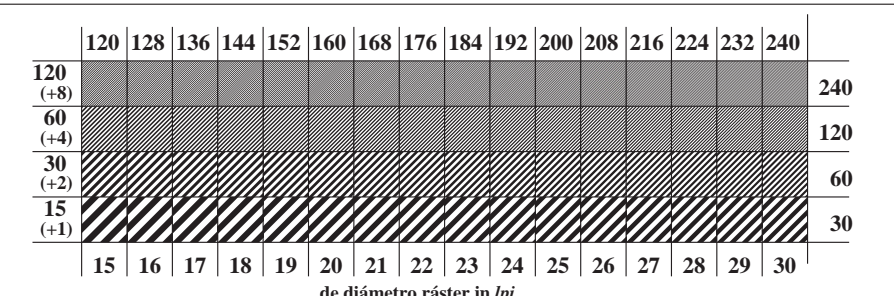


N_0 y código Hex 00;F 01;E 02;D 03;C 04;B 05;A 06;9 07;8 08;7 09;6 10;5 11;4 12;3 13;2 14;1 15;0
 $w^*-l^*_\text{CIELAB, r}$ (relativa)
 w^*_entrada 0,000 0,067 0,133 0,200 0,267 0,333 0,400 0,467 0,533 0,600 0,667 0,733 0,800 0,867 0,933 1,000
 w^*_salida

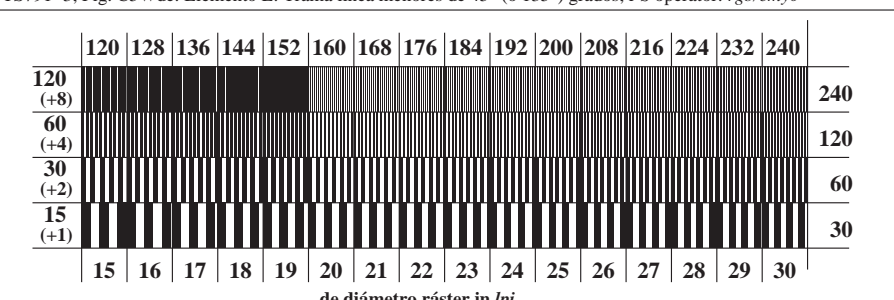
TS790-7, Fig. C3Wde: Elemento C: 16 equidistante L^* pasos de gris; PS operator: *rgb/cmy0*

paso fondo	0	○ ○ ○ ○ ○ ○ ○ ○	1 paso del anillo 0-1
	7	○ ○ ○ ○ ○ ○ ○ ○	Código Hexadecimal 7-8
	E	○ ○ ○ ○ ○ ○ ○ ○	F E-F
	2	○ ○ ○ ○ ○ ○ ○ ○	0 2-0
	8	○ ○ ○ ○ ○ ○ ○ ○	6 8-6
	F	○ ○ ○ ○ ○ ○ ○ ○	D F-D

TS791-1, Fig. C4Wde: Elemento D: anillos de Landolt W-N; PS operator: *rgb/cmy0*



TS791-3, Fig. C5Wde: Elemento E: Trama linea menores de 45° (o 135°) grados; PS operator: *rgb/cmy0*



TS791-5, Fig. C6Wde: Elemento F: Trama linea menores de 90° (o 0°) grados; PS operator: *rgb/cmy0*

